

Преобладание последних в разрезе обуславливает незначительность метасоматических процессов и широкое развитие жил выполнения. Для рудных месторождений Нагольного кряжа характерны наибольший масштаб и низкая контрастность метасоматических изменений продуктивных стадий, высокая степень внутрижильного метасоматоза и метаморфизм жильных вкраплений, увеличение с глубиной степени окологильного метасоматоза [5]. Такие особенности оруденения следуют ожидать и на Северной антиклинали ввиду близости литолого-стратиграфических условий Северной антиклинали к таковым полиметаллических и золотополиметаллических месторождений и рудопроявлений Нагольного кряжа. На западном замыкании Северной антиклинали, где развита циклически построенная «донецкая» толща с более низким метаморфизмом вмещающих пород условия локализации оруденения приближаются к таковым Никитовского рудного поля, где оруденение размещено преимущественно в пористых и трещиноватых песчаниках свиты  $C_2^3$  с метаморфизмом средних стадий (Ж, К).

### Библиографический список

1. Шубин Ю.П. Минералого-геохимические критерии прогноза скрытого гидро-термального оруденения в пределах Северной антиклинали Донбасса // Доп. АН України. — К., 2001. — № 8. — С. 115–117.
2. Шубін Ю.П. Гідротермальна мінералізація Північної антикліналі Донбасу // Мінер. зб. Львів. ун-ту, 2000. — № 50. — вип. 2. — С. 72–79.
3. Резник А.И. Геологическое положение и общие черты строения флишоидной толщи срединной части Донбасса // Геол. журн, 1978. — № 6. — С. 64–70.
4. Резник А.И. Некоторые вопросы геологии и оценки месторождений золота в Нагольном кряже // Геол. журн, 1993. — № 5. — С. 138–141.
5. Отчет по теме: «Обобщение материалов и составление металлогенической карты на благородные металлы и полиметаллы на Нагольном кряже в масштабе 1:50000 за 1988–91 гг. /Фонды ПГО «Ворошиловградгеология»; Руководитель В.А. Жулид. — Изв. №4244. — Ворошиловград, 1991. — 360 с.

© Шубин Ю.П., 2002

УДК 553.291:622.273

НАЗИМКО В.В., МЕРЗЛИКИН А.В. (ДонНТУ)

## ОПЫТ ПРИМЕНЕНИЯ НЕЙРОННЫХ СЕТЕЙ И ГЕНЕТИЧЕСКОГО АЛГОРИТМА ДЛЯ ПРОГНОЗА МАЛОАМПЛИТУДНЫХ НАРУШЕНИЙ

Малоамплитудные нарушения являются одной из основных проблем подземной разработки угольных месторождений Украины. Наличие малоамплитудных нарушений приводит к существенному увеличению капитальных затрат на подготовку запасов к выемке, повышает износ оборудования и зольность горной массы. Зоны малоамплитудной нарушенности наиболее опасны по внезапным выбросам угля и газа. На сегодня нет достаточно надежного метода разведки таких нарушений, хотя ведутся интенсивные и плодотворные исследования в нескольких направлениях. В частности развивается сейсмический метод прогноза, основанный на математической трактовке результатов измерения преломления сейсмических волн на неоднородностях в горном массиве [1]. Известны попытки использования геодинамических методов для прогноза зон малоамплитудной нарушенности, методов статистического анализа дисперсии угла падения пласта и др. Несмотря на значительные усилия

ученых, достоверность прогноза местоположения и параметров малоамплитудных нарушений остается неудовлетворительной. В связи с этим предложен и развивается новый метод прогноза нарушений с использованием нейронных сетей и генетических алгоритмов [2].

Метод заключается в тренировке нейронной сети по достоверным данным о местоположении и амплитуде подтвержденных горными работами малоамплитудных нарушений. После определенного количества тренировок сеть используется для прогноза нарушений на примыкающем к тренировочному участку. Из множества типов нейронных сетей для решения поставленной задачи был выбран персептрон, состоящий из слоя входных нейронов, скрытого слоя и слоя выходных нейронов. Сигналы, по которым тренируется нейрон, подаются на входные нейроны и проходят по сети, формируя выходной сигнал. Для сопоставимости входных сигналов их величины нормируются, то есть приводятся к единице. В результате можно подавать на вход сети такие параметры, как координаты местоположения нарушения, измеряемые сотнями метров, амплитуду нарушения, находящуюся часто в пределах одного метра, азимут линии падения и т.п.

Сигналы передаются по отдельным связям сети согласно весовым коэффициентам и подвергаются пороговому преобразованию с учетом смещения по следующим формулам:

$$\sum U_{\text{вх}} = \omega_1 U_1 + \omega_2 U_2 + \dots, \quad (1)$$

где  $\omega_i$  — весовой коэффициент;  $U_i$  — импульс:

$$U_{\text{вых}} = 1/\exp(C_0 - \sum U_{\text{вх}}), \quad (2)$$

где  $U_{\text{вых}}$  — выходной импульс;  $C_0$  — смещение;  $\sum U_{\text{вх}}$  — сумма входных импульсов.

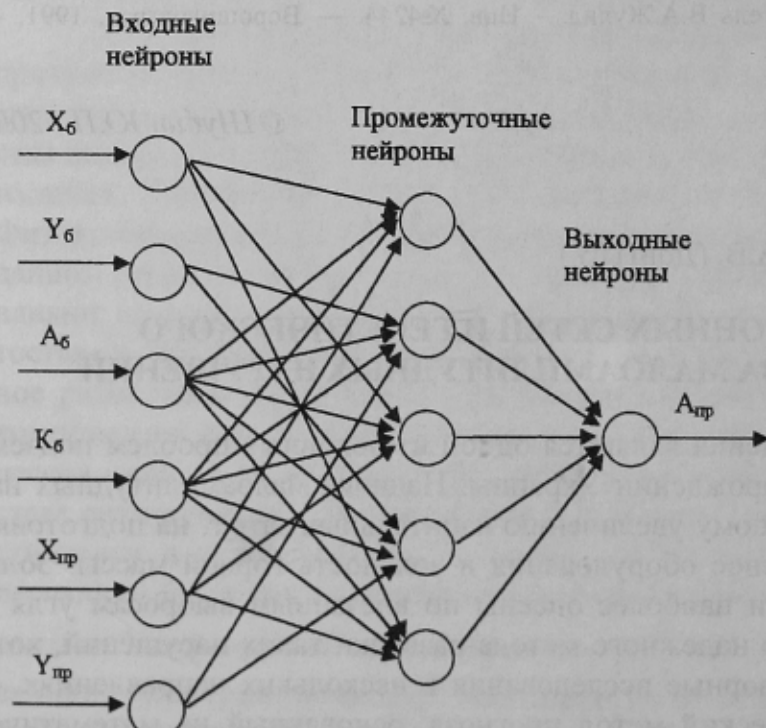


Рис.1. Структура сформированной нейронной сети

Применяют разные типы формул порогового преобразования. Чаще всего используют порог сигмоидальной формы, используемый в данной статье. Важно то, что такое преобразование порождает весьма важное свойство нелинейности сети, которое неоценимо для способности предсказания сложных явлений и систем.

Архитектура нейронной сети представлена на рис. 1. Сеть состоит из трех слоев: входной (содержащий 6 нейронов), промежуточный (содержит 5 нейрона) и выходной (содержащий 1 нейрон). На входные нейроны подаются координаты  $X_b$ ;  $Y_b$ , амплитуда ( $A_b$ ) и коэффициент отношения величи-

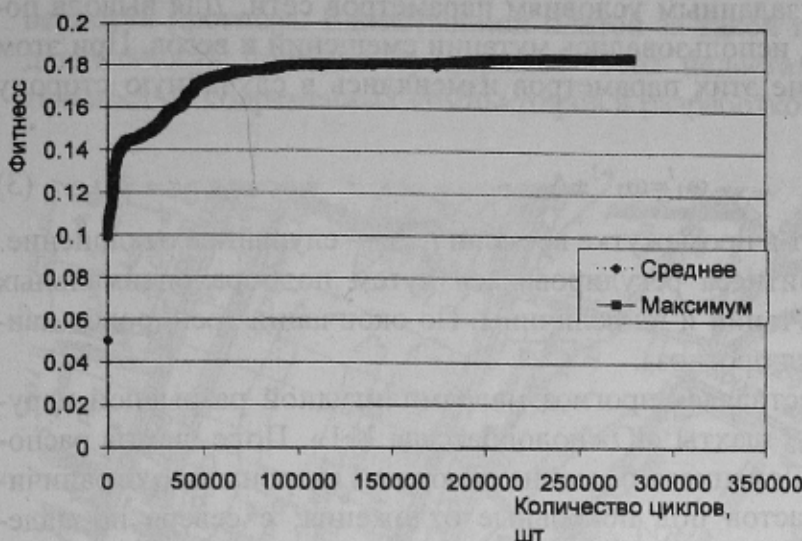


Рис. 2. График натренированности сети

Конкретная сеть характеризуется архитектурой, которая описана выше, а также смещениями в промежуточных нейронах и весами связей между нейронами. Тренировка сети основывалась на принципе естественного отбора, в котором выживает «сильнейший». Реализация этого принципа осуществлялась с помощью генетического алгоритма. Для этого создавался пул или набор из нескольких десятков экземпляров сети одной и той же структуры. Затем каждая сеть испытывалась на фитнес (натренированность), пропорциональный способности ее предсказывать. Чем выше эта способность, тем лучше фитнес (рис. 2). В данной задаче величина фитнеса определялась как сумма ошибок предсказаний по нескольким десяткам тестов, используемых в процессе тренировки сетей. Каждая сеть задавалась в виде хромосомы, представляющей набор смещений и весов. Пример такого набора показан на рис. 3. В данном случае с учетом архитектуры сети она содержит 5 смещений (по количеству нейронов в скрытом слое) и 25 весовых коэффициентов (по числу связей). При работе генетического алгоритма осуществлялось скрещивание хромосомных цепей из весов и смещений, в результате чего образовывалось новая особь популяции (рис.3). После каждого цикла тренировки нейронной сети производился отбор и сохранение

ны нарушения к его амплитуде (Кб) точки, где находится нарушение и координаты Хпр, Упр, точки, где необходимо выяснить наличие нарушения. Выходной нейрон выдает амплитуду (Апр) в прогнозируемой точке, которая сравнивается с фактической. В результате тренировки сети, накапливающие минимальную суммарную ошибку предсказания поощряются и интенсивнее размножаются, производя подобных себе потомков.

#### Хромосомы до скрещивания

[0.35 -1.21 1.51 -2.11 -0.05    -1.23 1.07 7.33] (-1.11 -1.17 -2.30 0.68    1.10 0.92 0.89 0.13 -2.54 0.25 0.85 0.58 -1.65 -2.70    -1.69 2.17 -1.04 2.42 1.40 3.52 -0.52 1.95 2.00 1.12 -5.10 -13.40 0.25 -1.30 3.20 -0.57 -14.27 -1.80 -1.72 4.25 2.27 -17.64 1.19 1.08 -6.21)
[0.35 -1.24 1.48 -2.08 -0.06    -1.27 1.04 7.33] (-1.13 -1.16 -2.32 0.69    1.10 0.91 0.89 0.11 -2.54 0.28 0.83 0.55 -1.63 -2.67    -1.69 2.14 -1.08 2.39 1.38 3.56 -0.50 1.93 2.00 1.15 -5.13 -13.42 0.23 -1.30 3.18 -0.59 -14.26 -1.82 -1.71 4.27 2.31 -17.65 1.19 1.05 -6.19)

#### Хромосома после скрещивания

[0.35 -1.21 1.51 -2.11 -0.05    -1.27 1.04 7.33] (-1.13 -1.16 -2.32 0.69    1.10 0.92 0.89 0.13 -2.54 0.25 0.85 0.58 -1.65 -2.70    -1.69 2.14 -1.08 2.39 1.38 3.56 -0.50 1.93 2.00 1.15 -5.13 -13.42 0.23 -1.30 3.18 -0.59 -14.26 -1.82 -1.71 4.27 2.31 -17.65 1.19 1.05 -6.19)
---

Рис. 3. Структура хромосом до и после скрещивания

наиболее приспособленных к заданным условиям параметров сети. Для вывода поиска из локального минимума, использовались мутации смещений и весов. При этом с малой вероятностью значение этих параметров изменялись в случайную сторону на определенную величину.

$$\omega_1^t = \omega_1^{t-1} \pm \Delta, \quad (3)$$

где  $\omega_1^t$  — весовой коэффициент в промежутке времени  $t$ ;  $\Delta$  — случайное отклонение.

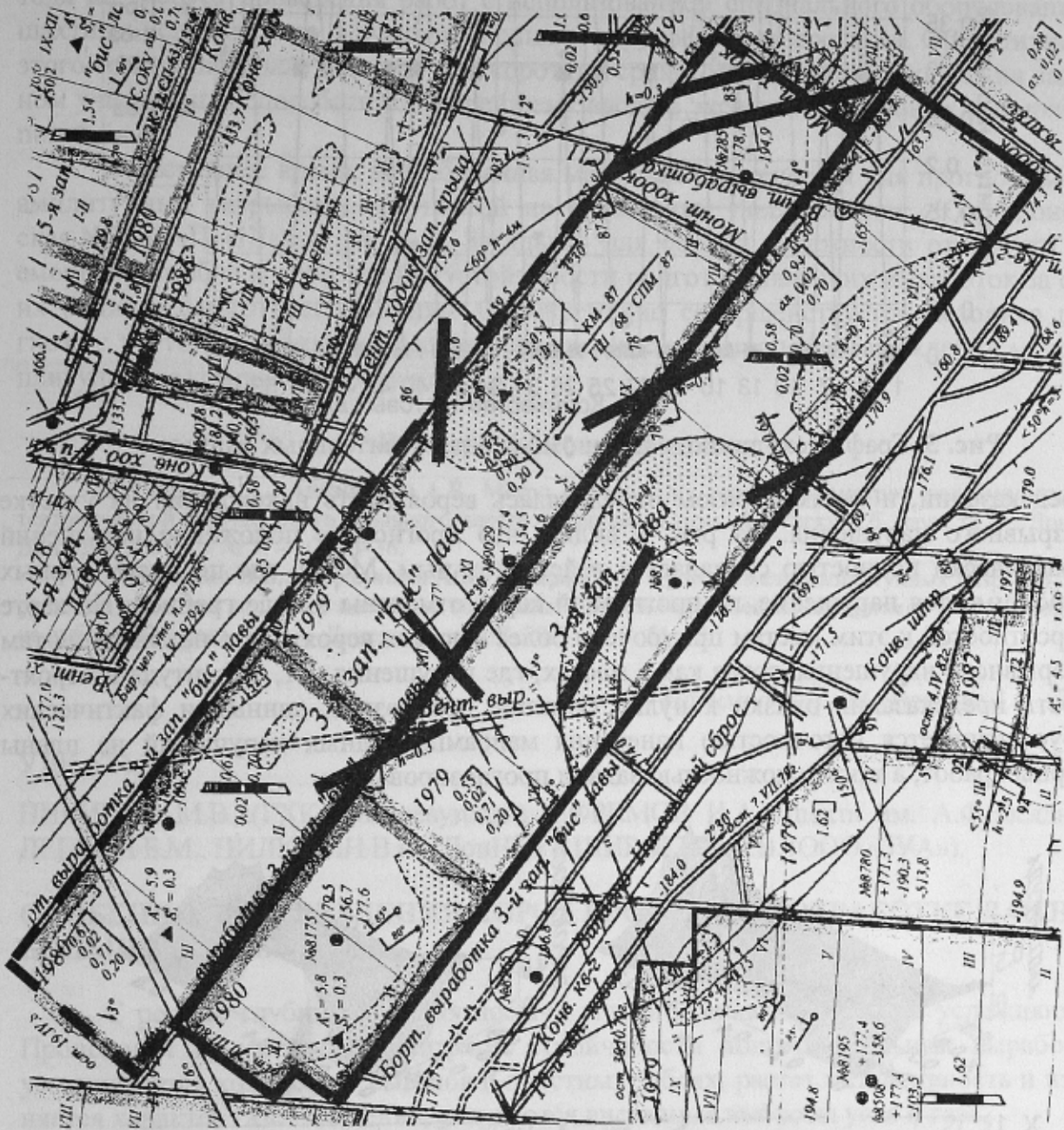
Скорость улучшения фитнеса регулировалась путем подбора оптимальных вероятностей скрещиваний, мутаций и их величины. По окончании тренировок наилучшая сеть использовалась для прогноза.

В данной работе осуществлялся прогноз малоамплитудной разрывной нарушности угольного пласта  $C_{13}$  шахты «Южнодонбасская №1». Поле шахты расположено в юго-западной части Донецкого бассейна. С южной стороны оно ограничивается выходом угольных пластов под покровные отложения; с севера по падению — изогипсой 485 м, ниже которой расположено поле шахты «Южнодонбасская №3». На востоке, границы шахтного поля проходят по Владимировскому сбросу, а на западе — по сложному сбросу. На данный период шахтой приняты к отработке восемь пластов:  $C_{18}$ ,  $C_{17}^2$ ,  $C_{13}$ ,  $C_{11}$ ,  $C_{10}^2$ ,  $C_6$ ,  $C_4$ ,  $B_5$ , из них отрабатываются три пласти  $C_{13}$ ,  $C_{11}$ , и  $C_{10}^2$ . Пласт  $C_{13}$  является одним из основных пластов мощностью от 0,8 до 1,2 м,  $C_{11}$  имеет мощность от 1 до 2,25 м и мощность пласти  $C_{10}^2$  колеблется от 0,9 до 1,25 м. Строение пластов простое, за исключением пласти  $C_{10}^2$ , который имеет двухсантиметровую прослойку каолинита.

На всех пластах шахтного поля в большом количестве имеются малоамплитудные разрывные нарушения с амплитудой от нескольких сантиметров до десятков метров. Присутствие таких нарушений значительно усложняет планирование горных работ. В связи с этим поля не стыкуются между собой, выемочные столбы имеют различную ориентацию, значительные участки бросаются или дорабатываются с большими затратами.

Для тренировки и предсказания был выбран участок шахтного поля, на котором ранее были отработаны две лавы с явно выраженным и достоверно установленными нарушениями (рис.4). Тренировка осуществлялась по 3-й западной лаве, обозначенной на рисунке сплошной линией. Сеть тренировалась до примерного сходства графиков прогнозных и действительных данных (рис.5) на что затрачивалось около 300000 циклов, или столько же поколений сети меняли друг друга. Подчеркнем, что перетренировывать сеть нежелательно, поскольку она начинает чересчур детально учитывать особенности объекта, в результате чего теряет способность обобщения, а значит, и предсказания. После тренировок производилось предсказание малоамплитудных нарушений на участке 3-й западной «бис» лавы, обозначенного на рисунке штрих-пунктирной линией. При прогнозе на входные нейроны задавались координаты  $X_b$ ,  $Y_b$  и  $A_b$  точек, где производилась тренировка сети, и координаты  $X_{pr}$  и  $Y_{pr}$  точки, где необходимо было сделать прогноз. Предсказание происходило таким образом, что из каждой базовой точки осуществлялся прогноз на весь прогнозируемый участок. В качестве базовых использовались точки сетки равномерной разбивки анализируемой области размером  $4 \times 22$ . Это обеспечивало достаточную точность тренировки и достоверность прогноза. В логической форме принцип тренировки выглядел следующим образом: «если в точке с координатами  $X_b$ ,  $Y_b$  амплитуда нарушения равна  $A_b$ , то в точке с координатами  $X_{pr}$ ,  $Y_{pr}$  она должна быть равна  $A_{pr}$ . Производя тренировку сети со всех точек расчетной области на все, мы добиваемся достаточной степени обобщения, что гарантирует высокую досто-

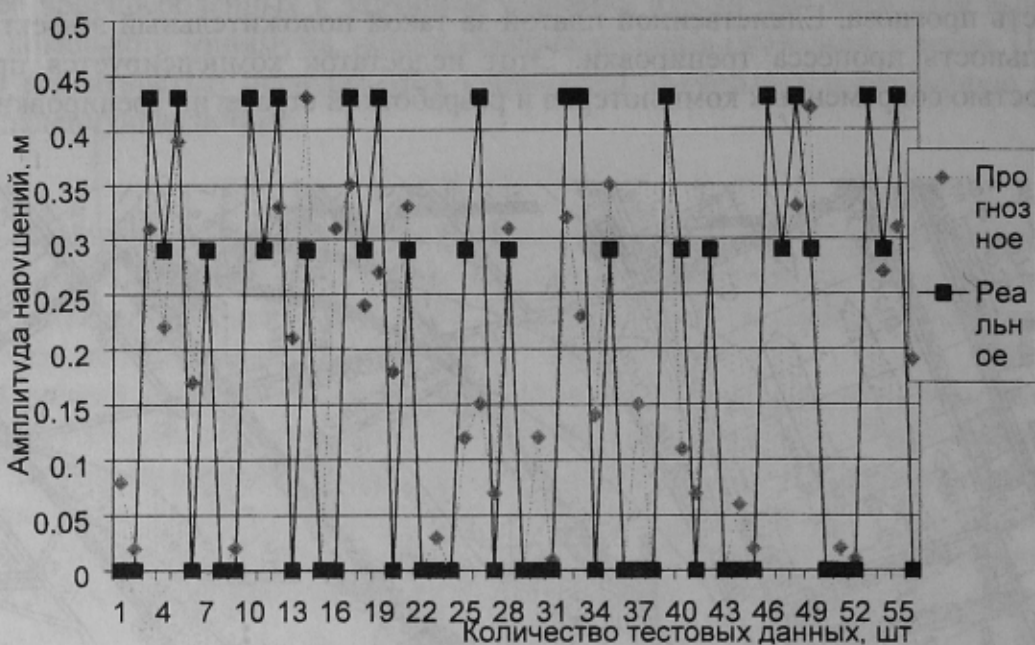
верность прогноза. Единственной платой за такой положительный эффект является длительность процесса тренировки. Этот недостаток компенсируется производительностью современных компьютеров и разработкой стратегий тренировки.



**Рис. 4.** Часть шахтного поля, на которой производилась тренировка и прогноз

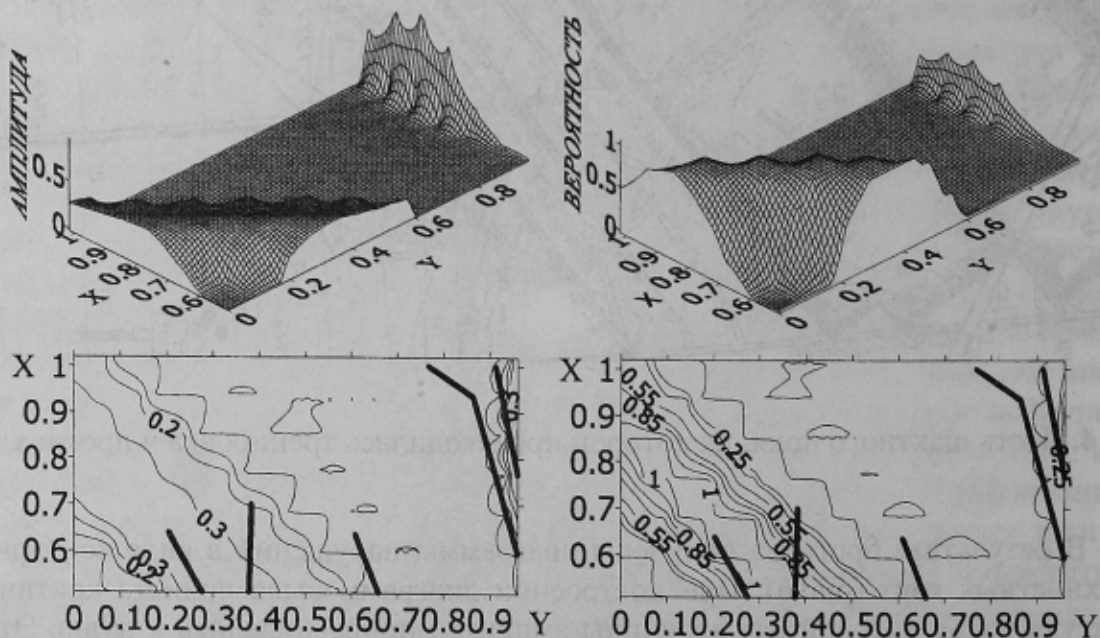
В результате прогноза получены диаграммы нарушений в виде контурных и поверхностных карт (рис.6). При построении диаграмм была принята критическая амплитуда, ниже которой все величины амплитуд приравнивались к нулю. Это позволило максимально приблизить прогнозные данные к действительным и убрать случайные погрешности прогноза.

Кроме нахождения положения нарушений на прогнозируемом участке определялась и вероятность их наличия. Суммировалось количество случаев, в которых при прогнозе была предсказана амплитуда, сумма делилась на количество



**Рис. 5.** График сходимости прогнозных и действительных данных

предсказаний, и таким образом определялась вероятность нахождения на участке разрывного нарушения. Из рис. 6 видно, что прогнозное положение нарушений практически полностью совпадает с действительным. Места, где по плану горных работ имеется нарушение, на прогнозной карте отмечены в виде гребней. На карте вероятностей к этим местам приурочена более высокая вероятность нахождения там разрывного нарушения, тогда как в местах, где нарушения нет, амплитуда и вероятность предсказания близки к нулю. Отличие прогнозных данных и фактических обуславливается неточностью нанесения малоамплитудных нарушений на планы горных работ, а также сложностью задачи прогнозирования.



**Рис. 6.** Контурные и поверхностные карты амплитуд и вероятности спрогнозированных нарушений (— действительное положение нарушений)

Метод прогноза малоамплитудной разрывной нарушенности с использованием искусственного интеллекта позволяет прогнозировать наличие и вероятность

распределения нарушений на прогнозируемом участке. Главным достоинством вышеописанного метода является минимальная себестоимость при достаточной достоверности, что выгодно отличает его от известных методов. Применение данного метода не требует проведения работ с использованием специального оборудования в шахтных условиях, что значительно снижает трудоемкость прогноза. Оперативность этого метода позволяет быстро и в короткие сроки осуществлять прогноз на заданном участке, что способствует скорейшему вводу в эксплуатацию новых выемочных полей.

В настоящее время, разработанная методика применяется для прогноза малоамплитудных разрывных нарушений на выемочных полях шахты «Южнодонбасская №3» и АП «Шахта им. А.Ф. Засядько» для оценки надежности отработки выемочных столбов и обеспечения устойчивости подготавливающих выработок за счет их рационального расположения. Одновременно совершенствуется методика прогноза с учетом основных характеристик физического процесса зарождения малоамплитудных разрывных нарушений.

### **Библиографический список**

1. Глухов А.А., Анциферов А.В. Метод определения типа и параметров малоамплитудной тектонической нарушенности угольного пласта // Проблеми гірського тиску: Сб. науч. тр. — Донецк: ДонНТУ, 2001. — № 5. — С. 16–36.
2. Назимко В.В., Мерзликин А.В., Захаров В.С. Прогноз мелкоамплитудных разрывных нарушений угольных пластов с помощью нейронных сетей и генетических алгоритмов // Геотехнологии на рубеже XXI века. Т. II. — Донецк: ДонНТУ, 2001. — С. 51–58.

© Назимко В.В., Мерзликин А.В., 2002

УДК 622.273

НИЧИПОР М.В. (ГХК «Макеевуголь»), ЕФРЕМОВ И.А. (шахта им. А.Ф.Засядько), ДЕГЛИН Б.М., ПИЛЮГИН В.И. (ДонНТУ), ШИРОКИХ Н.В. (ООО «ЗУА»).

## **ОСОБЕННОСТИ ПОВЕДЕНИЯ ПОРОД КРОВЛИ ПРИ ОТРАБОТКЕ ЛАВ НА БОЛЬШИХ ГЛУБИНАХ**

С ростом глубины условия добычи угля в Донбассе все более усложняются. Происходит существенное снижение устойчивости подготовительных выработок, увеличивается количество вывалов в очистных забоях, растет интенсивность и изменяется характер газовыделения, учащаются внезапные выбросы угля и газа.

Все вышеперечисленные явления, несмотря на внешние различия, имеют под собой общую физическую основу и природу: они обусловлены изменением напряженно-деформированного состояния (НДС) горного массива при ведении очистных работ в пределах яруса, крыла, горизонта или всего шахтного поля. В связи с этим любые новые знания и представления в области *геомеханики лавы* могут быть использованы для повышения безопасности и эффективности угледобычи.

Из практики отработки угольных пластов хорошо известно явление периодического зависания и обрушения слоев основной и непосредственной кровли в очистных забоях. Его суть заключается в том, что по мере подвигания лавы увеличивается площадь обнажения кровли, вес зависающих над выработанным пространством пород и происходит их обрушение. Предельная длина консоли, или шаг обрушения непосредственной кровли всегда в несколько раз меньше шага обрушения основной.